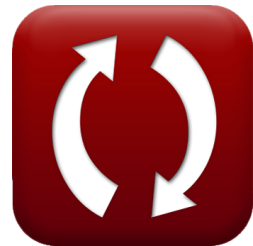


[calculatoratoz.com](http://calculatoratoz.com)[unitsconverters.com](http://unitsconverters.com)

# Factores de concentración de tensiones en el diseño Fórmulas

[¡Calculadoras!](#)[¡Ejemplos!](#)[¡Conversiones!](#)

Marcador [calculatoratoz.com](http://calculatoratoz.com), [unitsconverters.com](http://unitsconverters.com)

Cobertura más amplia de calculadoras y creciente - **¡30.000+ calculadoras!**  
Calcular con una unidad diferente para cada variable - **¡Conversión de unidades integrada!**

La colección más amplia de medidas y unidades - **¡250+ Medidas!**



¡Siéntete libre de COMPARTIR este documento con tus amigos!

[Por favor, deje sus comentarios aquí...](#)



## Lista de 26 Factores de concentración de tensiones en el diseño Fórmulas

### Factores de concentración de tensiones en el diseño ↗

#### Placa rectangular contra cargas fluctuantes ↗

**1) Ancho de placa rectangular con agujero transversal dada la tensión nominal ↗**

$$fx \quad w = \frac{P}{t \cdot \sigma_o} + d_h$$

Calculadora abierta ↗

$$ex \quad 70.01\text{mm} = \frac{8750\text{N}}{10\text{mm} \cdot 25\text{N/mm}^2} + 35.01\text{mm}$$

**2) Carga en Placa Rectangular con Agujero Transversal dada la Tensión Nominal ↗**

$$fx \quad P = \sigma_o \cdot (w - d_h) \cdot t$$

Calculadora abierta ↗

$$ex \quad 8747.5\text{N} = 25\text{N/mm}^2 \cdot (70\text{mm} - 35.01\text{mm}) \cdot 10\text{mm}$$



### 3) Diámetro del orificio transversal de la placa rectangular con concentración de tensión dada la tensión nominal ↗

**fx**  $d_h = w - \frac{P}{t \cdot \sigma_o}$

Calculadora abierta ↗

**ex**  $35\text{mm} = 70\text{mm} - \frac{8750\text{N}}{10\text{mm} \cdot 25\text{N/mm}^2}$

### 4) Esfuerzo de tracción nominal en placa rectangular con orificio transversal ↗

**fx**  $\sigma_o = \frac{P}{(w - d_h) \cdot t}$

Calculadora abierta ↗

**ex**  $25.00714\text{N/mm}^2 = \frac{8750\text{N}}{(70\text{mm} - 35.01\text{mm}) \cdot 10\text{mm}}$

### 5) Espesor de placa rectangular con orificio transversal dada la tensión nominal ↗

**fx**  $t = \frac{P}{(w - d_h) \cdot \sigma_o}$

Calculadora abierta ↗

**ex**  $10.00286\text{mm} = \frac{8750\text{N}}{(70\text{mm} - 35.01\text{mm}) \cdot 25\text{N/mm}^2}$

### 6) Valor más alto de tensión real cerca de la discontinuidad ↗

**fx**  $\sigma a_{\max} = k_f \cdot \sigma_o$

Calculadora abierta ↗

**ex**  $53.75\text{N/mm}^2 = 2.15 \cdot 25\text{N/mm}^2$



## Eje redondo contra cargas fluctuantes ↗

7) Altura del chavetero del eje dada Relación de resistencia a la torsión del eje con chavetero y sin chavetero ↗

$$fx \quad h = \frac{d}{1.1} \cdot \left( 1 - C - 0.2 \cdot \frac{b_k}{d} \right)$$

Calculadora abierta ↗

$$ex \quad 4\text{mm} = \frac{45\text{mm}}{1.1} \cdot \left( 1 - 0.88 - 0.2 \cdot \frac{5\text{mm}}{45\text{mm}} \right)$$

8) Anchura del chavetero del eje dada Relación de resistencia a la torsión del eje con chavetero y sin chavetero ↗

$$fx \quad b_k = 5 \cdot d \cdot \left( 1 - C - 1.1 \cdot \frac{h}{d} \right)$$

Calculadora abierta ↗

$$ex \quad 5\text{mm} = 5 \cdot 45\text{mm} \cdot \left( 1 - 0.88 - 1.1 \cdot \frac{4\text{mm}}{45\text{mm}} \right)$$

9) Diámetro del eje dado Relación de resistencia a la torsión del eje con chavetero y sin chavetero ↗

$$fx \quad d = \frac{0.2 \cdot b_k + 1.1 \cdot h}{1 - C}$$

Calculadora abierta ↗

$$ex \quad 45\text{mm} = \frac{0.2 \cdot 5\text{mm} + 1.1 \cdot 4\text{mm}}{1 - 0.88}$$



## 10) Diámetro más pequeño del eje redondo con filete de hombro en tensión o compresión ↗

**fx**  $d_{\text{small}} = \sqrt{\frac{4 \cdot P}{\pi \cdot \sigma_0}}$

Calculadora abierta ↗

**ex**  $21.11004\text{mm} = \sqrt{\frac{4 \cdot 8750\text{N}}{\pi \cdot 25\text{N/mm}^2}}$

## 11) Esfuerzo de flexión nominal en eje redondo con filete de hombro ↗

**fx**  $\sigma_0 = \frac{32 \cdot M_b}{\pi \cdot d_{\text{small}}^3}$

Calculadora abierta ↗

**ex**  $25\text{N/mm}^2 = \frac{32 \cdot 23089.1\text{N*mm}}{\pi \cdot (21.11004\text{mm})^3}$

## 12) Esfuerzo de torsión nominal en eje redondo con filete de hombro ↗

**fx**  $\sigma_0 = \frac{16 \cdot M_t}{\pi \cdot d_{\text{small}}^3}$

Calculadora abierta ↗

**ex**  $20\text{N/mm}^2 = \frac{16 \cdot 36942.57\text{N*mm}}{\pi \cdot (21.11004\text{mm})^3}$



### 13) Esfuerzo de tracción nominal en eje redondo con filete de hombro

**fx**  $\sigma_o = \frac{4 \cdot P}{\pi \cdot d_{small}^2}$

Calculadora abierta 

**ex**  $25N/mm^2 = \frac{4 \cdot 8750N}{\pi \cdot (21.11004mm)^2}$

### 14) Fuerza de tracción en eje redondo con filete de hombro dada la tensión nominal

**fx**  $P = \frac{\sigma_o \cdot \pi \cdot d_{small}^2}{4}$

Calculadora abierta 

**ex**  $8749.999N = \frac{25N/mm^2 \cdot \pi \cdot (21.11004mm)^2}{4}$

### 15) Momento de flexión en eje redondo con filete de hombro dada la tensión nominal

**fx**  $M_b = \frac{\sigma_o \cdot \pi \cdot d_{small}^3}{32}$

Calculadora abierta 

**ex**  $23089.1N*mm = \frac{25N/mm^2 \cdot \pi \cdot (21.11004mm)^3}{32}$



## 16) Momento de torsión en un eje redondo con filete de hombro dado el esfuerzo nominal ↗

**fx**  $M_t = \frac{\tau_o \cdot \pi \cdot d_{\text{small}}^3}{16}$

Calculadora abierta ↗

**ex**  $36942.57 \text{N} \cdot \text{mm} = \frac{20 \text{N/mm}^2 \cdot \pi \cdot (21.11004 \text{mm})^3}{16}$

## 17) Relación de resistencia a la torsión del eje con chavetero y sin chavetero ↗

**fx**  $C = 1 - 0.2 \cdot \frac{b_k}{d} - 1.1 \cdot \frac{h}{d}$

Calculadora abierta ↗

**ex**  $0.88 = 1 - 0.2 \cdot \frac{5 \text{mm}}{45 \text{mm}} - 1.1 \cdot \frac{4 \text{mm}}{45 \text{mm}}$

## Placa plana contra cargas fluctuantes ↗

### 18) Ancho más pequeño de placa plana con filete de hombro dado Tensión nominal ↗

**fx**  $d_o = \frac{P}{\sigma_o \cdot t}$

Calculadora abierta ↗

**ex**  $35 \text{mm} = \frac{8750 \text{N}}{25 \text{N/mm}^2 \cdot 10 \text{mm}}$



**19) Carga en placa plana con filete de hombro dada la tensión nominal** 

**fx**  $P = \sigma_o \cdot d_o \cdot t$

**Calculadora abierta** 

**ex**  $8750\text{N} = 25\text{N/mm}^2 \cdot 35\text{mm} \cdot 10\text{mm}$

**20) Eje menor del agujero de fisura elíptico en placa plana dado el factor de concentración de tensión teórico** 

**fx**  $b_e = \frac{a_e}{k_t - 1}$

**Calculadora abierta** 

**ex**  $15\text{mm} = \frac{30\text{mm}}{3 - 1}$

**21) Eje principal del agujero de fisura elíptico en placa plana dado el factor de concentración de tensión teórico** 

**fx**  $a_e = b_e \cdot (k_t - 1)$

**Calculadora abierta** 

**ex**  $30\text{mm} = 15\text{mm} \cdot (3 - 1)$

**22) Esfuerzo de tracción nominal en placa plana con filete de hombro** 

**fx**  $\sigma_o = \frac{P}{d_o \cdot t}$

**Calculadora abierta** 

**ex**  $25\text{N/mm}^2 = \frac{8750\text{N}}{35\text{mm} \cdot 10\text{mm}}$



**23) Espesor de placa plana con filete de hombro dada la tensión nominal**

$$fx \quad t = \frac{P}{\sigma_o \cdot d_o}$$

Calculadora abierta

$$ex \quad 10mm = \frac{8750N}{25N/mm^2 \cdot 35mm}$$

**24) Factor de concentración de estrés teórico**

$$fx \quad k_t = \frac{\sigma a_{max}}{\sigma_o}$$

Calculadora abierta

$$ex \quad 2.15 = \frac{53.75N/mm^2}{25N/mm^2}$$

**25) Factor de concentración de tensión teórica para fisuras elípticas**

$$fx \quad k_t = 1 + \frac{a_e}{b_e}$$

Calculadora abierta

$$ex \quad 3 = 1 + \frac{30mm}{15mm}$$

**26) Tensión media para carga fluctuante**

$$fx \quad \sigma_m = \frac{\sigma_{max} + \sigma_{min}}{2}$$

Calculadora abierta

$$ex \quad 110N/mm^2 = \frac{180N/mm^2 + 40N/mm^2}{2}$$



## Variables utilizadas

- $a_e$  Eje mayor de la grieta elíptica (*Milímetro*)
- $b_e$  Eje menor de la grieta elíptica (*Milímetro*)
- $b_k$  Ancho de la llave en el eje redondo (*Milímetro*)
- $C$  Relación de la fuerza del eje
- $d$  Diámetro del eje con chavetero (*Milímetro*)
- $d_h$  Diámetro del orificio transversal en la placa (*Milímetro*)
- $d_o$  Ancho de placa más pequeño (*Milímetro*)
- $d_{small}$  Diámetro de eje más pequeño con filete (*Milímetro*)
- $h$  Altura de la ranura del eje (*Milímetro*)
- $k_f$  Factor de concentración del estrés por fatiga
- $k_t$  Factor teórico de concentración de tensiones
- $M_b$  Momento de flexión en un eje redondo (*newton milímetro*)
- $M_t$  Momento de torsión en un eje redondo (*newton milímetro*)
- $P$  Carga sobre placa plana (*Newton*)
- $t$  Espesor de la placa (*Milímetro*)
- $w$  Ancho de la placa (*Milímetro*)
- $\sigma_m$  Esfuerzo medio para carga fluctuante (*Newton por milímetro cuadrado*)
- $\sigma_{max}$  Estrés máximo en la punta de la grieta (*Newton por milímetro cuadrado*)
- $\sigma_{min}$  Estrés mínimo en la punta de la grieta (*Newton por milímetro cuadrado*)



- $\sigma_0$  Estrés nominal (*Newton por milímetro cuadrado*)
- $\sigma a_{\max}$  Valor más alto de tensión real cerca de la discontinuidad (*Newton por milímetro cuadrado*)
- $T_0$  Esfuerzo de torsión nominal para carga fluctuante (*Newton por milímetro cuadrado*)



# Constantes, funciones, medidas utilizadas

- **Constante:** pi, 3.14159265358979323846264338327950288

*La constante de Arquímedes.*

- **Función:** sqrt, sqrt(Number)

*Una función de raíz cuadrada es una función que toma un número no negativo como entrada y devuelve la raíz cuadrada del número de entrada dado.*

- **Medición:** Longitud in Milímetro (mm)

*Longitud Conversión de unidades* 

- **Medición:** Fuerza in Newton (N)

*Fuerza Conversión de unidades* 

- **Medición:** Esfuerzo de torsión in newton milímetro (N\*mm)

*Esfuerzo de torsión Conversión de unidades* 

- **Medición:** Estrés in Newton por milímetro cuadrado (N/mm<sup>2</sup>)

*Estrés Conversión de unidades* 



## Consulte otras listas de fórmulas

- Líneas de Soderberg y Goodman  
[Fórmulas](#) 
- Factores de concentración de tensiones en el diseño  
[Fórmulas](#) 

¡Siéntete libre de COMPARTIR este documento con tus amigos!

### PDF Disponible en

[English](#) [Spanish](#) [French](#) [German](#) [Russian](#) [Italian](#) [Portuguese](#) [Polish](#) [Dutch](#)

11/21/2024 | 12:09:15 PM UTC

[Por favor, deje sus comentarios aquí...](#)

